

## Dinâmica de corpos rígidos

Um corpo rígido é uma idealização útil de um sistema de partículas no qual supõe-se que as distâncias relativas entre as partículas que compõem o corpo se mantêm constantes no tempo. Corpos reais se deformam, mas costumam ser bastante bem aproximados por essa idealização.

~~Velocidades angulares~~

A localização espacial de um corpo rígido requer, em geral, 6 quantidades:

- 3 coordenadas que localizam ou o centro de massa do corpo ou um ponto fixo em torno do qual ele gira

- 3 ângulos que determinam sua orientação espacial. Isto pode ser entendido se fixarmos um sistema de eixos cartesianos no corpo: para especificar a orientação desse sistema em relação a um outro fixo, podemos usar os 3 eixos diretores.

Tanto num caso como no outro, a dinâmica rotacional é dada por:

$$\vec{N} = \frac{d\vec{L}}{dt}$$

como vimos. Se o sistema fixo no corpo gira com velocidade angular instantânea  $\vec{\omega}$  em relação ao sistema fixo, então qualquer ponto no corpo tem velocidade:

$$\vec{r}_x = \vec{\omega} \times \vec{r}_x$$

ou relação ao sistema fixo, onde usamos

$$\frac{d\vec{r}_x}{dt} = \frac{d\vec{r}_x^1}{dt} + \vec{\omega} \times \vec{r}_x$$

(aqui, usamos  $\vec{r}_x^1$  linha para o sistema inercial e ~~com~~ linha para o sistema girante) e o fato de que a relação ao sistema de referência fixo ao corpo:  $\frac{d\vec{r}_x}{dt} = 0$

Portanto:

$$\vec{L} = \sum_{\alpha} \vec{r}_{\alpha} \times m_{\alpha} \vec{v}_{\alpha} = \sum_{\alpha} m_{\alpha} \vec{r}_{\alpha} \times (\vec{\omega} \times \vec{r}_{\alpha})$$

Mas:

$$\vec{r}_{\alpha} \times (\vec{\omega} \times \vec{r}_{\alpha}) = r_{\alpha}^2 \vec{\omega} - (\vec{\omega} \cdot \vec{r}_{\alpha}) \vec{r}_{\alpha}$$

$$\Rightarrow \vec{L} = \sum_{\alpha} m_{\alpha} [r_{\alpha}^2 \vec{\omega} - (\vec{\omega} \cdot \vec{r}_{\alpha}) \vec{r}_{\alpha}]$$

Em componentes:

$$L_i = \sum_{\alpha} m_{\alpha} [r_{\alpha}^2 \omega_i - (\sum_j \omega_j x_{\alpha j}) x_{\alpha i}]$$

$$= \sum_j \left[ \sum_{\alpha} m_{\alpha} (r_{\alpha}^2 \delta_{ij} - x_{\alpha i} x_{\alpha j}) \right] \omega_j$$

$$\Rightarrow L_i = \sum_j I_{ij} \omega_j$$

onde :

$$I_{ij} = \sum_x m_x (r_x^2 \delta_{ij} - x_{xi} x_{xj})$$

é o chamado TENSOR DE INÉRCIA. Suas componentes são:

$$I_{11} = \sum_x m_x (r_x^2 - x_{x1}^2) = \sum_x m_x (y_{x1}^2 + z_{x1}^2)$$

$$I_{22} = \sum_x m_x (x_{x2}^2 + z_{x2}^2)$$

$$I_{33} = \sum_x m_x \cancel{(y_{x3}^2 + z_{x3}^2)} (x_{x3}^2 + y_{x3}^2)$$

$$I_{12} = I_{21} = - \sum_x m_x x_x y_x$$

$$I_{13} = I_{31} = - \sum_x m_x x_x z_x$$

$$I_{23} = I_{32} = - \sum_x m_x y_x z_x$$

Note que esse é um tensor simétrico. Suas componentes têm dimensão de Massa x Comprimento<sup>2</sup> e dependem da escolha do sistema de coordenadas.

Os elementos diagonais são os momentos de inércia e os fora da diagonal são os produtos de inércia. Há apenas 6 números independentes num tensor simétrico.

No caso contínuo:  $I_{11} = \int s(z) (y^2 + z^2) dV$ , etc.

A energia cinética de rotação também pode ser escrita em termos do tensor de inércia

$$T_{\text{rot}} = \frac{1}{2} \sum_{\alpha} m_{\alpha} \omega_{\alpha}^2 = \frac{1}{2} \sum_{\alpha} m_{\alpha} (\vec{\omega} \times \vec{r}_{\alpha})^2$$

$$(\vec{\omega} \times \vec{r}_{\alpha})^2 = (\vec{\omega} \times \vec{r}_{\alpha}) \cdot (\vec{\omega} \times \vec{r}_{\alpha})$$

$$= \vec{\omega} \cdot [\vec{r}_{\alpha} \times (\vec{\omega} \times \vec{r}_{\alpha})]$$

$$\Rightarrow T_{\text{rot}} = \frac{1}{2} \sum_{\alpha} m_{\alpha} \vec{\omega} \cdot [\vec{r}_{\alpha} \times \vec{\omega}] = \frac{1}{2} \vec{\omega} \cdot \vec{L}$$

ou

$$T_{\text{rot}} = \frac{1}{2} \sum_i L_i \omega_i = \frac{1}{2} \sum_{ij} \omega_i I_{ij} \omega_j$$

As vezes, escrevemos:

$$I_{ij} \rightarrow \overset{\neq}{I} \text{ ou } \overset{=} I \text{ ou } \overset{\approx}{I}$$

$$\overset{\neq}{L} = \overset{\neq}{I} \cdot \vec{\omega}$$

$$T_{\text{rot}} = \frac{1}{2} \vec{\omega} \cdot \overset{\neq}{I} \cdot \vec{\omega}$$

/ /

Calculo de TI de um cubo (Fig. 11-1)

$$I_{11} = \rho \int dV (y^2 + z^2) = \frac{M}{b^3} \int_0^b dx \int_0^b dy \int_0^b dz (y^2 + z^2)$$

$$= \frac{2M}{b^3} \int_0^b dx \int_0^b dy \int_0^b dz (y^2) = \frac{2M}{b^3} b^2 \int_0^b y^2 dy$$

$$= \frac{2M}{b} \frac{b^3}{3} = \frac{2M b^2}{3} = I_{22} = I_{33}$$

$$I_{12} = -\frac{M}{b^3} \int_0^b dx \int_0^b dy \int_0^b dz (xy) = -\frac{M}{b^2} \left[ \int_0^b dx x \right]^2$$

$$= -\frac{M}{b^2} \left[ \frac{b^2}{2} \right]^2 = -\frac{Mb^2}{4} = I_{13} = I_{23}$$

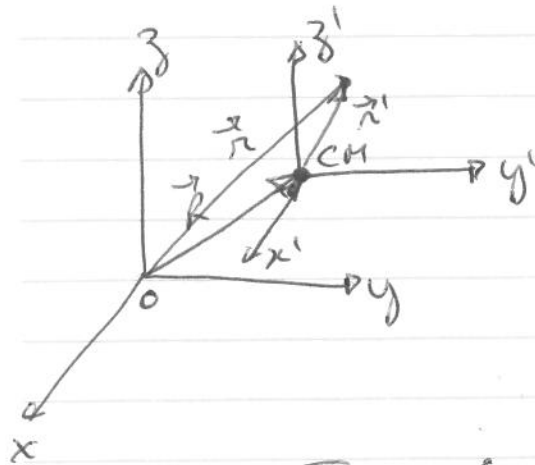
$$\bar{\bar{I}} = \begin{pmatrix} 2/3 Mb^2 & -Mb^2/4 & -Mb^2/4 \\ 2/3 Mb^2 & -Mb^2/4 & -Mb^2/4 \\ 2/3 Mb^2 & -Mb^2/4 & -Mb^2/4 \end{pmatrix} = Mb^2 \begin{pmatrix} 2/3 & -1/4 & -1/4 \\ -1/4 & 2/3 & -1/4 \\ -1/4 & -1/4 & 2/3 \end{pmatrix}$$

## Teorema dos eixos paralelos

Sigam 2 sistemas de coordenadas, um dos quais tem sua origem no CM do sistema. Assim, podemos escrever:

$$\vec{r}_x = \vec{R} + \vec{r}'_x$$

onde  $\vec{r}_x$  é a posição da  $x$ -ésima partícula no sistema genérico,  $\vec{R}$  é a posição do CM nesse sistema e  $\vec{r}'_x$  é a posição da  $x$ -ésima partícula em relação ao CM:



$$I_{0ij} = \sum_k m_k (\vec{r}_x^2 \delta_{ij} - x_{ki} x_{kj})$$

lás:

$$\vec{r}_x^2 = \vec{r}'_x^2 + \vec{R}^2 + 2\vec{r}'_x \cdot \vec{R}$$

$$\begin{aligned} x_{ki} x_{kj} &= (x'_{ki} + x_i)(x'_{kj} + x_j) \\ &= x'_{ki} x'_{kj} + x'_{ki} x_j + x_i x'_{kj} + x_i x_j \end{aligned}$$

/ /

Notamos agora que os termos:

$$\sum_{\alpha} m_{\alpha} \tilde{r}_{\alpha}^1 = 0$$

$$\sum_{\alpha} m_{\alpha} x_{xi}^1 = \sum_{\alpha} m_{\alpha} x_{xj}^1 = 0$$

e ficamos com:

$$I_{cij} = \sum_{\alpha} m_{\alpha} (r_{\alpha}^2 \delta_{ij} - x_{\alpha i}^1 x_{\alpha j}^1)$$

$$+ \sum_{\alpha} m_{\alpha} (R^2 \delta_{ij} - x_i x_j)$$

$$I_{cij} = I_{cuij} + M(R^2 \delta_{ij} - x_i x_j)$$

A parte diagonal é consequência do teorema dos eixos paralelos conhecido da discussão de rotação em torno de um eixo fixo.

Exemplo: Calcular  $I_{cnj}$  para o cubo do exemplo anterior. Usando o teorema dos eixos paralelos:

$$\vec{R} = \frac{b}{2}(\hat{x} + \hat{y} + \hat{z})$$

$$\Rightarrow M(R^2 \delta_{ij} - x_i x_j) = M \begin{bmatrix} 2b^2/4 & -b^2/4 & -b^2/4 \\ -b^2/4 & 2b^2/4 & -b^2/4 \\ -b^2/4 & -b^2/4 & 2b^2/4 \end{bmatrix}$$

$$= Mb^2 \begin{bmatrix} 1/2 & -1/4 & -1/4 \\ -1/4 & 1/2 & -1/4 \\ -1/4 & -1/4 & 1/2 \end{bmatrix}$$

$$\bar{I}_{cn} = \bar{I}_{oo} - M(R^2 \delta_{ij} - x_i x_j) = Mb^2 \begin{bmatrix} 2/3 & -1/4 & -1/4 \\ -1/4 & 2/3 & -1/4 \\ -1/4 & -1/4 & 2/3 \end{bmatrix}$$

$$-Mb^2 \begin{bmatrix} 1/2 & -1/4 & -1/4 \\ -1/4 & 1/2 & -1/4 \\ -1/4 & -1/4 & 1/2 \end{bmatrix} = Mb^2 \begin{bmatrix} 1/6 & 0 & 0 \\ 0 & 1/6 & 0 \\ 0 & 0 & 1/6 \end{bmatrix}$$

$$= \frac{Mb^2}{6} \text{ II}$$

## Propriedades de transformações sob rotações

Sabemos que um vetor é uma quantidade tal que suas coordenadas se transformam de uma maneira bem definida sob rotações do sistema de coordenadas, a saber:

$$x_i = \sum_j \lambda_{ij} k_j$$

Sabemos que a matriz  $\lambda_{ij}$  é ortogonal, porque as rotações preservam o produto escalar:

$$\sum_i x_i y_i = \sum_{i,j,k} \lambda_{ij} x_j \lambda_{ik} y_k = \sum_i x_i y_i$$

Isto só é válido para vetores genéricos se:

$$\sum_i \lambda_{ij} \lambda_{ik} = \delta_{jk} = \sum_i \lambda_{ji} \lambda_{ik}$$

ou, se considerarmos  $\lambda_{ij}$  o elemento da matriz  $\tilde{\lambda}$  (ou  $\lambda$ )

$$\sum_i \lambda_{ij} \lambda_{ik} = (\tilde{\lambda}^T \tilde{\lambda})_{jk} = (\mathbb{1})_{jk}$$

$$\Rightarrow \boxed{\tilde{\lambda}^T \tilde{\lambda} = \mathbb{1}}$$

$$\text{ou } \boxed{\tilde{\lambda}^{-1} = \tilde{\lambda}^T}$$

( / / )

Mas  $\vec{L}$  e  $\vec{\omega}$  são vetores, portanto,

$$L'_i = \sum_j d_{ij} L_j \Rightarrow L_i = \sum_j \lambda_{ij}^T L'_j = \sum_j d_{ji} L'_j$$

$$\omega'_i = \sum_j d_{ij} \omega_j \Rightarrow \omega_i = \sum_j d_{ji} \omega_j$$

Logo:

$$L_i = \sum_j I_{ij} \omega_j \Rightarrow L'_i = \sum_j I'_{ij} \omega'_j$$

onde:

$$\sum_j d_{ij} L_j = \sum_k I'_{ik} \sum_e \lambda_{ke} \omega_e$$

Multiplicando ambos os lados por  $\dim e$  e somando sobre  $i$ :

$$\sum_j \underbrace{\left( \sum_i \dim \lambda_{ij} \right)}_{\delta_{mi,j}} L_j = \sum_{ik} \dim I'_{ik} \lambda_{ke} \omega_e$$

$$\Rightarrow L_m = \sum_e \left( \sum_{ik} \dim I'_{ik} \lambda_{ke} \right) \omega_e$$

e, comparando com a equação acima:

$$I_{me} = \sum_{ik} \lambda_{mi}^T I'_{ik} \lambda_{ke} \Rightarrow \bar{I} = \bar{\lambda}^T \bar{I}' \bar{\lambda}$$

$$\text{Analogamente: } I'_{ij} = \sum_{ke} \lambda_{ik} I_{ke} \lambda_{ej}^T \Rightarrow \bar{I}' = \bar{\lambda} \bar{I}^T \bar{\lambda}$$

( / / )

De maneira geral, um tensor de ordem  $n$  é uma quantidade com  $n$  índices que se transforma segundo:

$$T'_{abcd\dots} = \sum_{ijkl\dots} \lambda_{ai} \lambda_{bj} \lambda_{ck} \lambda_{de\dots} T_{ijkl\dots}$$

~~Se o tensor é par~~

## Eixos principais

A forma geral de um tensor de inércia depende do sistema de coordenadas. Se houver um sistema de eixos no qual o tensor assume a forma diagonal isso se torna extremamente útil:

$$I_{ij} = \begin{pmatrix} I_1 & 0 & 0 \\ 0 & I_2 & 0 \\ 0 & 0 & I_3 \end{pmatrix} = I_i \delta_{ij}$$

pois se  $\vec{\omega}$  aponta ao longo dos eixos correspondentes, digamos o eixo  $\hat{e}_m$

$$L_i = \sum_j I_{ij} \omega_j$$

$$\begin{aligned} \text{Se } \omega_j = \omega \delta_{jm} \Rightarrow L_i &= \sum_j I_{ij} \omega \delta_{jm} \\ &= I_{im} \omega = I_i \omega \delta_{im} \end{aligned}$$

e  $\vec{L}$  também aponta na direção de  $\hat{e}_m$ :  $\vec{L} \parallel \vec{\omega}$ .  
De maneira geral:

$$L_i = \sum_j I_{ij} \omega_j = I_i \omega_i$$

$$T_{\text{rot}} = \frac{1}{2} \vec{\omega} \cdot \vec{L} = \frac{1}{2} \sum_i I_i \omega_i^2$$

As direções dos eixos que "diagonalizam"  $I_{ij}$  são chamadas EIXOS PRINCIPAIS do corpo (para uma origem dada).

Vamos agora achar os eixos principais de um corpo. De maneira geral, se  $\vec{I}$  é para um sistema qualquer de eixos não é diagonal. Vamos supor que  $I_{ij}$  é dado para esse sistema de eixos genérico. Seja  $\vec{\omega}$  uma velocidade angular que aponta na direção de um dos eixos principais. Como vimos, nesse caso  $\vec{L} \parallel \vec{\omega}$ :

$$\Rightarrow \vec{L} = I \vec{\omega}$$

Mas:

$$\vec{L} = \vec{I} \cdot \vec{\omega} = I \vec{\omega}$$

ou, em componentes,

$$L_i = \sum_j I_{ij} \omega_j = I \omega_i$$

$$\begin{pmatrix} I_{11} & I_{12} & I_{13} \\ I_{21} & I_{22} & I_{23} \\ I_{31} & I_{32} & I_{33} \end{pmatrix} \begin{pmatrix} \omega_1 \\ \omega_2 \\ \omega_3 \end{pmatrix} = I \begin{pmatrix} \omega_1 \\ \omega_2 \\ \omega_3 \end{pmatrix}$$

or equivalently:

$$\begin{pmatrix} I_{11}-I & I_{12} & I_{13} \\ I_{21} & I_{22}-I & I_{23} \\ I_{31} & I_{32} & I_{33}-I \end{pmatrix} \begin{pmatrix} \omega_1 \\ \omega_2 \\ \omega_3 \end{pmatrix} = 0$$

que é um sistema de equações lineares homogêneas.

A condição para que ele tenha uma solução é o anulamento do determinante da matriz de coeficientes

( / / )

$$\begin{vmatrix} I_{11}-I & I_{12} & I_{13} \\ I_{21} & I_{22}-I & I_{23} \\ I_{31} & I_{32} & I_{33}-I \end{vmatrix} = 0$$

Essa é uma equação cúbica, chamada equação secular. Veremos mais adiante que ela tem 3 raízes reais (e positivas). Cada raiz será o momento de Inércia  $I_i$  em relação a um dos 3 eixos principais  $\vec{i}$ . Podemos achar os eixos facilmente achando a solução do sistema de equações lineares para o valor  $I_i$  ( $i = 1, 2, 3$ ). Essa solução é dada a menor de uma constante multiplicativa, ou seja, se  $\vec{w}_j^{(i)}$  é solução  $K \vec{w}_j^{(i)}$  também é. Se escolhemos um unitário no direção de  $\vec{w}^{(i)}$ , teremos o unitário procurado:

$$\hat{\vec{w}}^{(i)} = \frac{\vec{w}^{(i)}}{|\vec{w}^{(i)}|}$$

( / / )

Exemplo: Encontre os eixos principais para o alvo do primeiro exemplo:

$$I_{ij} = M_0^2 \begin{pmatrix} 2/3 & -1/4 & -1/4 \\ -1/4 & 2/3 & -1/4 \\ -1/4 & -1/4 & 2/3 \end{pmatrix}$$

$$\Rightarrow \begin{vmatrix} 2/3 - \lambda & -1/4 & -1/4 \\ -1/4 & 2/3 - \lambda & -1/4 \\ -1/4 & -1/4 & 2/3 - \lambda \end{vmatrix} = \left(\frac{2}{3} - \lambda\right)^3 - 2\left(\frac{1}{4}\right)^3 - 3\left(\frac{1}{4}\right)^2\left(\frac{2}{3} - \lambda\right)$$
$$= \left(\frac{2}{3} - \lambda\right)^3 - \frac{3}{16} \left(\frac{2}{3} - \lambda\right) - \frac{1}{32} = 0$$

$$\Rightarrow \lambda_1 = \frac{1}{6}, \quad \lambda_2 = \frac{11}{12}, \quad \lambda_3 = \frac{11}{12}$$

$$\lambda_1: \begin{pmatrix} 2/3 - 1/6 & -1/4 & -1/4 \\ -1/4 & 2/3 - 1/6 & -1/4 \\ -1/4 & -1/4 & 2/3 - 1/6 \end{pmatrix} \begin{pmatrix} \omega_1 \\ \omega_2 \\ \omega_3 \end{pmatrix} = 0$$

$$\begin{pmatrix} 1/2 & -1/4 & -1/4 \\ -1/4 & 1/2 & -1/4 \\ -1/4 & -1/4 & 1/2 \end{pmatrix} \begin{pmatrix} \omega_1 \\ \omega_2 \\ \omega_3 \end{pmatrix} = 0$$

$$2\omega_1 - \omega_2 - \omega_3 = 0 \Rightarrow \omega_1 = (\omega_2 + \omega_3)/2$$

$$-\omega_1 + 2\omega_2 - \omega_3 = 0 \Rightarrow -\frac{1}{2}(\omega_2 + \omega_3) + 2\omega_2 - \omega_3 = 0$$

$$\Rightarrow 3\omega_2 - 3\omega_3 = 0 \Rightarrow \omega_2 = \omega_3 \Rightarrow \omega_1 = \omega_2$$

$$\hat{\omega}_1 = \frac{1}{\sqrt{3}} (\hat{x} + \hat{y} + \hat{z}) \Rightarrow \text{diagonal do cubo}$$

$$2/3 - \frac{11}{12} = \frac{8-11}{12} = -\frac{1}{4}$$

( / / )

$\lambda_2, \lambda_3:$

$$\begin{pmatrix} -1/4 & -1/4 & -1/4 \\ -1/4 & -1/4 & -1/4 \\ -1/4 & -1/4 & -1/4 \end{pmatrix} \begin{pmatrix} w_1 \\ w_2 \\ w_3 \end{pmatrix} = 0$$

$$w_1 + w_2 + w_3 = 0$$

Isso gera um espaço 2D. Por exemplo:

$$\hat{\omega}_2 = \frac{1}{\sqrt{2}} (\hat{x} - \hat{y})$$

$$\hat{\omega}_3 = \frac{1}{\sqrt{6}} (\hat{x} + \hat{y} - 2\hat{z})$$

Os auto-valores não são todos reais.

( / )

A equação secular é uma equação cúbica com coeficientes reais. Sabemos que pelo menos uma de suas raízes é real, mas não sabemos ainda se as outras 2 são reais ou pares de complexos conjugados. Vamos provar que se  $I_{ij}$  é simétrico (é real), as raízes são todas reais.

~~Suponhamos~~ Suponhamos que  $I_k$  seja uma raiz com auto-vetor  $\hat{\omega}^{(k)}$ .

$$\bar{I} \cdot \hat{\omega}^{(k)} = I_k \hat{\omega}^{(k)}$$

Ainda não sabemos se  $I_k$  ou  $\hat{\omega}^{(k)}$  são reais. Tomemos  $(\hat{\omega}^{(k)})^*$  pela esquerda:

$$\hat{\omega}^{(k)*} \cdot \bar{I} \cdot \hat{\omega}^{(k)} = I_k \hat{\omega}^{(k)*} \cdot \hat{\omega}^{(k)} \quad (1)$$

Tomando o complexo conjugado dessa equação (lembmando que  $\bar{I}$  é real):

$$\hat{\omega}^{(k)} \cdot \bar{I} \cdot \hat{\omega}^{(k)*} = \bar{I}^* \hat{\omega}^{(k)} \cdot \hat{\omega}^{(k)*} = I_k^* \hat{\omega}^{(k)*} \cdot \hat{\omega}^{(k)}$$

pela comutatividade do produto escalar. Mas

$$\vec{a} \cdot \bar{I} \cdot \vec{b} = a_i I_{ij} b_j = a_i I_{ji} b_j = \vec{b} \cdot \bar{I} \cdot \vec{a}$$

já que  $I_{ij}$  é simétrico. Assim:

$$\hat{\omega}^{(k)*} \cdot \bar{I} \cdot \hat{\omega}^{(k)} = I_k^* \hat{\omega}^{(k)*} \cdot \hat{\omega}^{(k)} \quad (2)$$

( / / )

Subtraindo (2) de (1):

$$(I_k - I_k^*) \hat{\omega}^{(k)*} \cdot \hat{\omega}^{(k)} = 0$$

Mas  $\hat{\omega}^{(k)} = \sum_i w_i^{(k)} e_i \Rightarrow \hat{\omega}^{(k)*} \cdot \hat{\omega}^{(k)} = \sum_i |w_i^{(k)}|^2 > 0$

Logo:  $I_k = I_k^* \Rightarrow [I_k \in \mathbb{R}] \quad \text{C.Q.D.}$

Se os auto-valores são reais, também são os auto-vetores.  
Auto-vetores de auto-valores diferentes são ortogonais entre si.

Sejamos dois auto-valores distintos

$$I_e \neq I_k$$

$$\bar{I} \cdot \hat{\omega}^{(e)} = I_e \hat{\omega}^{(e)} \quad (3)$$

$$\bar{I} \cdot \hat{\omega}^{(k)} = I_k \hat{\omega}^{(k)} \quad (4)$$

$$(\hat{\omega}^{(k)} \cdot) (3) \text{ e } (\hat{\omega}^{(e)} \cdot) (4) \Rightarrow$$

$$\Rightarrow \hat{\omega}^{(k)} \cdot \bar{I} \cdot \hat{\omega}^{(e)} = I_e \hat{\omega}^{(k)} \cdot \hat{\omega}^{(e)} \quad (5)$$

$$\hat{\omega}^{(e)} \cdot \bar{I} \cdot \hat{\omega}^{(k)} = I_k \hat{\omega}^{(e)} \cdot \hat{\omega}^{(k)} = I_k \hat{\omega}^{(k)} \cdot \hat{\omega}^{(e)}$$

$$\text{Mas } \hat{\omega}^{(e)} \cdot \bar{I} \cdot \hat{\omega}^{(k)} = \hat{\omega}^{(k)} \cdot \bar{I} \cdot \hat{\omega}^{(e)} = I_k \hat{\omega}^{(k)} \cdot \hat{\omega}^{(e)} \quad (6)$$

$$(5) - (6) \Rightarrow (I_e - I_k) \hat{\omega}^{(k)} \cdot \hat{\omega}^{(e)} = 0$$

Se  $I_2 \neq I_k \Rightarrow$

$$\hat{\omega}^{(k)} - \hat{\omega}^{(2)} = 0$$

C.Q.D.

Se 2 auto-valores são iguais (raiz dupla) pode-se sempre escolher os vetores ortogonais entre si.

## Matriz de transformação para os eixos principais

A discussão anterior indica que se fizermos uma transformação de coordenadas para um sistema de eixos dados pelos 3 eixos principais, o tensor de inércia assumirá a forma diagonal no novo sistema de eixos. Defato, ochemos a transformação  $\lambda_{ij}$  para essa rotação. Suponhamos que

$$\hat{\omega}^{(k)} \quad k = 1, 2, 3$$

são a 3 direções orthonormalizadas. Seja  $\lambda_{ij}$  a transformação procurada. Portanto:

$$\bar{I}' = \bar{\lambda} \bar{I} \bar{\lambda}^T$$

$$2 \quad \bar{I}' = \begin{pmatrix} I_1 & 0 & 0 \\ 0 & I_2 & 0 \\ 0 & 0 & I_3 \end{pmatrix} \quad \text{onde } I_k \text{ é o momento de inércia associado a } \hat{\omega}^{(k)}$$

Como  $\bar{\lambda}^T = \bar{\lambda}^{-1}$ :

$$\bar{I} \bar{\lambda}^T = \bar{\lambda}^T \bar{I}' \Rightarrow I_{ij} \lambda_{jk}^T = \lambda_{ie}^T I'_{ek} = \lambda_{ik}^T I_k \quad (1)$$

onde usamos que  $I'_{ek} = I_k \delta_{ek}$ . Mas, se  $\hat{\omega}^{(k)}$  é o eixo principal com  $I_k$ :

$$I_{ij} \hat{\omega}_j^{(k)} = I_k \hat{\omega}_i^{(k)} \quad (2)$$

Comparando (1) e (2) vemos que se escolhermos

( / )

$$\lambda_{jk}^T = \omega_j^{(k)} \text{ ou } \boxed{\lambda_{kj} = \omega_j^{(k)}}$$

a equação (1) será automaticamente satisfeita. Ou seja, a matriz  $\lambda_{ij}$  que "gira" o sistema de coordenadas de modo a diagonalizar  $I_{ij}$  é tal que SUAS LINHAS ~~são~~ são os componentes dos auto-vetores normalizados a 1. A condição de orthonormalização é necessária para garantir que a matriz  $\lambda_{ij}$  seja ortogonal:

$$\lambda_{ik} \lambda_{ij}^T = \lambda_{ik} \lambda_{kj} = \delta_{ij}$$

produto escalar das linhas i e j.

( / / )

Exemplo: Achar a matriz  $\tilde{I}^1$  que diagonaliza o  $T^1$  do cubo:

Como já vimos:

$$I_1 = \frac{M b^2}{6} \Rightarrow \hat{\omega}_1 = \frac{1}{\sqrt{3}} (\hat{x} + \hat{y} + \hat{z})$$

$$I_2 = \frac{11 M b^2}{12} \Rightarrow \hat{\omega}_2 = \frac{1}{\sqrt{2}} (\hat{x} - \hat{y})$$

$$I_3 = \frac{11 M b^2}{12} \Rightarrow \hat{\omega}_3 = \frac{1}{\sqrt{6}} (\hat{x} + \hat{y} - 2\hat{z})$$

Logo:

$$\tilde{\lambda} = \begin{pmatrix} \frac{1}{\sqrt{3}} & \frac{1}{\sqrt{3}} & \frac{1}{\sqrt{3}} \\ \frac{1}{\sqrt{2}} & -\frac{1}{\sqrt{2}} & 0 \\ \frac{1}{\sqrt{6}} & \frac{1}{\sqrt{6}} & -\frac{2}{\sqrt{6}} \end{pmatrix}$$

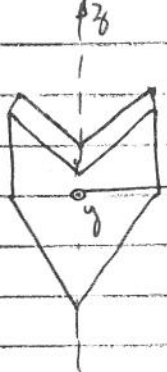
Mostre explicitamente que

$$\tilde{I}^1 = \tilde{\lambda} \tilde{I} \tilde{\lambda}^T$$

onde  $\tilde{I}^1 = \begin{pmatrix} I_1 & 0 & 0 \\ 0 & I_2 & 0 \\ 0 & 0 & I_3 \end{pmatrix}$

Para a diagonalização, alguns argumentos de simetria são úteis:

- 1) Se um corpo tem um plano de simetria, o eixo perpendicular a esse plano é um eixo principal



$\Leftrightarrow$  Plano  $y-z$  é um plano de simetria

$$S(x, y, z) = S(-x, y, z)$$

$\Rightarrow \hat{x}$  é um eixo principal

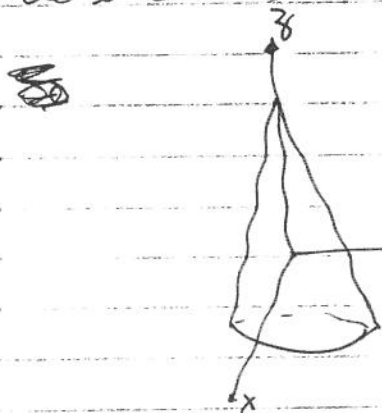
$$\text{Isso porque: } I_{xy} = - \int S(x, y, z) dV(xy) = + \int S(-x, y, z) dV(xy)$$

$$= \int S(x, y, z) dV(xy) = - I_{xy} \Rightarrow I_{xy} = 0$$

$$\text{e } I_{xz} = 0$$

$$\begin{bmatrix} I_{xx} & 0 & 0 \\ 0 & I_{yy} & I_{yz} \\ 0 & I_{yz} & I_{zz} \end{bmatrix} \Rightarrow \hat{x} \text{ eixo principal}$$

- 2) Se um corpo tem um eixo de simetria, o eixo é principal e o plano ~~perpendicular~~ perpendicular ao eixo é degenerado (tem dois eixos principais com o mesmo momento de inércia)



$\rightarrow \hat{z}$  é um eixo principal e o plano  $y(xy)$  é degenerado

Seja  $z$  o eixo de simetria.

$\Rightarrow S(x, y, z) \Rightarrow S(s, z)$  independente de  $\theta$

onde usamos coordenadas cilíndricas. Portanto:

$$I_{xz} = - \int_{2\pi}^0 S(s, z) s ds dz d\theta \times z = - \int_{2\pi}^0 S(s, z) dz ds d\theta z s \cos \theta = 0$$

pois  $\int_{2\pi}^0 \cos \theta d\theta = 0$

Analogamente:  $I_{yz} = 0$

$$I_{xy} = - \int_{2\pi}^0 S(s, z) s^2 \sin \theta \cos \theta ds dz d\theta = 0$$

pois  $\int_{2\pi}^0 \sin \theta \cos \theta d\theta = \frac{1}{2} \int_0^{2\pi} \sin 2\theta d\theta = 0$

Finalmente:

$$\begin{aligned} I_{xx} &= \int_{2\pi}^0 S(s, z) ds dz d\theta [z^2 + y^2] = \int_{2\pi}^0 S(s, z) ds dz d\theta [z^2 + s^2 \sin^2 \theta] \\ &= I_{yy} = \int_{2\pi}^0 S(s, z) ds dz d\theta [z^2 + s^2 \cos^2 \theta] \\ &\text{pois } \int_0^{2\pi} \sin^2 \theta d\theta = \int_0^{2\pi} \cos^2 \theta d\theta = \pi \end{aligned}$$

$$\Rightarrow I = \begin{bmatrix} I_{zz} & 0 & 0 \\ 0 & I_{xx} & 0 \\ 0 & 0 & I_{xx} \end{bmatrix} \Rightarrow \begin{array}{l} z \text{ é eixo principal} \\ (x, y) \text{ é um plano degenerado} \end{array}$$

## As equações de Euler

Como vimos, se a origem do sistema de coordenadas é fixa em relação ao sistema inercial ou coincide com o CM, o movimento de rotação de um corpo rígido é dado por:

$$\vec{N} = \frac{d\vec{L}}{dt}$$

Vamos imaginar agora um sistema de coordenadas de mesma origem, porém fixo ao corpo e, portanto, girando junto com ele. Se denotarmos por  $\frac{d}{dt}'$ , a derivada temporal em relação a

esse sistema girante (NOTE QUE AQUI MUDAMOS A NOTAÇÃO EM RELAÇÃO AO CAPÍTULO 10)

$$\frac{d\vec{L}}{dt} = \frac{d'\vec{L}}{dt} + \vec{\omega} \times \vec{L}$$

onde  $\vec{\omega}$  é a velocidade angular instantânea com que o sistema girante gira em relação ao sistema fixo. Portanto:

$$\vec{N} = \frac{d'\vec{L}}{dt} + \vec{\omega} \times \vec{L} = \vec{I} \cdot \frac{d\vec{\omega}}{dt} + \vec{\omega} \times (\vec{I} \cdot \vec{\omega})$$

já que  $\vec{L} = \vec{I} \cdot \vec{\omega}$  e  $\frac{d'\vec{L}}{dt} = \frac{d\vec{\omega}}{dt}$

( / / )

O sistema preso ao corpo mais conveniente é o de EIXOS PRINCIPAIS. Nesse caso, tomando as componentes em relação aos eixos principais  $\hat{e}_1, \hat{e}_2, \hat{e}_3$ :

$$N_1 = I_1 \ddot{\omega}_1 + \omega_2 (I_3 \omega_3) - \omega_3 (I_2 \omega_2)$$

$$N_2 = I_2 \ddot{\omega}_2 + \omega_3 (I_1 \omega_1) - \omega_1 (I_3 \omega_3)$$

$$N_3 = I_3 \ddot{\omega}_3 + \omega_1 (I_2 \omega_2) - \omega_2 (I_1 \omega_1)$$

ou:

$$N_1 = I_1 \ddot{\omega}_1 + (I_3 - I_2) \omega_2 \omega_3$$

$$N_2 = I_2 \ddot{\omega}_2 + (I_1 - I_3) \omega_1 \omega_3$$

$$N_3 = I_3 \ddot{\omega}_3 + (I_2 - I_1) \omega_1 \omega_2$$

EQUAÇÕES  
DE  
EULER

Sé tomarmos  $(\vec{\omega} \cdot \vec{N})$  com a equação original:

$$\vec{\omega} \cdot \vec{N} = \vec{\omega} \cdot \vec{I} \cdot \frac{d\vec{\omega}}{dt} = \frac{1}{2} \frac{d}{dt} (\vec{\omega} \cdot \vec{I} \cdot \vec{\omega})$$

já que  $\vec{I}$  é simétrico. Portanto

$$\frac{dT_{rot}}{dt} = \vec{\omega} \cdot \vec{N} \text{ que é o teorema de trabalho-energia para o movimento rotacional}$$

Outra consequência dessas equações é que a rotação com velocidade angular constante e na ausência de torques não é possível em torno dos eixos principais. De fato:

$$\frac{d\vec{\omega}}{dt} = 0 \quad \text{e} \quad \vec{N} = 0$$

$$\Rightarrow \vec{\omega} \times (\vec{I} \cdot \vec{\omega}) = \vec{\omega} \times \vec{L} = 0 \Rightarrow \vec{\omega} \parallel \vec{L}$$

Mas já vimos que  $\vec{L} \parallel \vec{\omega}$  se  $\vec{\omega}, \vec{L} \parallel$  eixos principais. Uma roda de carro deve ser balanceada para garantir que seu eixo de rotação seja um eixo principal, do contrário, haverá torques externos sobre o eixo e as consequentes reações sobre o resto do trem de potência, gerando vibrações, barulho, etc. A situação  $\vec{\omega} \parallel \vec{L}$  caracteriza o chamado equilíbrio dinâmico.

( / / )

## Rotacão livre:

Vamos analisar agora a rotacão na AUSENCIA de torques  $\vec{N} = \vec{0}$ . Vamos considerar inicialmente o caso de um corpo simétrico, em que dois momentos de inércia principais são iguais:  $I_1 = I_2$

Nesse caso, as equações de Euler ficam:

$$(I_2 - I_3) \omega_2 \omega_3 - I_3 \ddot{\omega}_3 = 0$$

$$(I_3 - I_1) \omega_1 \omega_3 - I_1 \ddot{\omega}_2 = 0$$

$$I_3 \ddot{\omega}_3 = 0 \Rightarrow \omega_3(t) = \text{const.}$$

As duas primeiras equações ficam, definindo

$$\beta \equiv \frac{I_3 - I_1}{I_2} \quad e \quad \mathcal{R} \equiv \beta \omega_3$$

$$\dot{\omega}_3 = -\mathcal{R} \omega_2$$

$$\dot{\omega}_2 = \mathcal{R} \omega_1$$

Dividindo a primeira e usando a segunda é vice-versa:

$$\ddot{\omega}_1 + \mathcal{R}^2 \omega_1 = \ddot{\omega}_2 + \mathcal{R}^2 \omega_2 = 0$$

$$\omega_1(t) = A_1 \cos(\mathcal{R}t + \delta_1)$$

$$\omega_2(t) = A_2 \cos(\mathcal{R}t + \delta_2)$$

( / / )

Voltando às equações de primeira ordem

$$\ddot{\omega}_1 = -\mathcal{R}\omega_2 \Rightarrow -A_1\mathcal{R} \sin(\mathcal{R}t + \delta_1) = -\mathcal{R}\dot{A}_2 \cos(\mathcal{R}t + \delta_2)$$

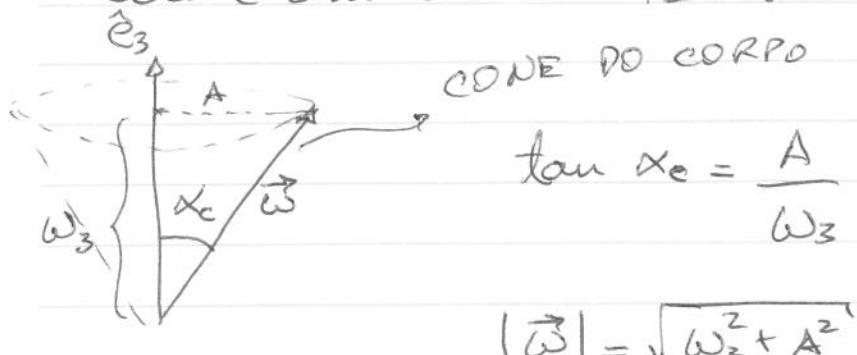
Podemos escolher  $\delta_1 = \delta$  e  $\delta_2 = \delta - \pi$  e  $A_1 = A_2 = A$ .

$$\left. \begin{array}{l} \omega_1(t) = A \cos(\mathcal{R}t + \delta) \\ \omega_2(t) = A \sin(\mathcal{R}t + \delta) \end{array} \right\} \Rightarrow \left. \begin{array}{l} \dot{\omega}_1 = -A\mathcal{R} \sin(\mathcal{R}t + \delta) \\ \dot{\omega}_2 = A\mathcal{R} \cos(\mathcal{R}t + \delta) \end{array} \right\}$$

que satisfazem as 2 equações de primeira ordem.

Portanto, a projeção de  $\vec{\omega}$  no plano  $\hat{e}_1, \hat{e}_2$  gira com velocidade angular  $\mathcal{R}$  e módulo  $A$ .

Como a projeção em  $\hat{e}_3$ ,  $\omega_3$  é constante,  $\vec{\omega}$  descreve um cone com semi-ângulo  $\alpha_c$ :



$$\tan \alpha_c = \frac{A}{\omega_3}$$

$$|\vec{\omega}| = \sqrt{\omega_3^2 + A^2}$$

$$\left\{ \begin{array}{l} \omega_3 = \omega \cos \alpha_c \\ A = \omega \sin \alpha_c \end{array} \right.$$

Para tentar traçar o movimento do corpo no espaço é conveniente usar como referência o vetor momento angular  $\vec{L}$  que, como  $\vec{N}=0$ , é constante no tempo. A outra constante de movimento é a energia cinética de rotação pois:

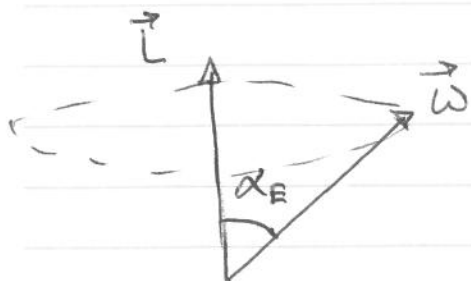
$$\frac{dT_{rot}}{dt} = \vec{\omega} \cdot \vec{N} = 0$$

Mas como:

$$T = \frac{1}{2} \vec{\omega} \cdot \vec{L} = \frac{1}{2} \omega L \cos \chi_E$$

e como  $|\vec{\omega}| = \text{const.}$  segue que o vetor  $\vec{\omega}$  descreve um ónus cone (CONE ESPACIAL) girando em torno de  $\vec{L}$  com semi-ângulo  $\chi_E$ :

$$\cos \chi_E = \frac{2T}{\omega L}$$



Na verdade, podemos mostrar que os vetores  $\vec{L}$ ,  $\vec{\omega}$  e  $\hat{e}_3$  não sempre COPLANARES:



( / / )

Temos que:

$$\vec{\omega} = \omega_1 \hat{e}_1 + \omega_2 \hat{e}_2 + \omega_3 \hat{e}_3$$

e:

$$\vec{L} = \vec{I} \cdot \vec{\omega} = I_1 (\omega_1 \hat{e}_1 + \omega_2 \hat{e}_2) + I_3 \omega_3 \hat{e}_3$$

pois  $I_1 = I_2$ . Segue que:

$$\hat{e}_3 \times \vec{L} = I_1 (+\omega_1 \hat{e}_2 - \omega_2 \hat{e}_1) = I_1 (-\omega_2 \hat{e}_1 + \omega_1 \hat{e}_2)$$

Finalmente:

$$\begin{aligned} \vec{\omega} \cdot (\hat{e}_3 \times \vec{L}) &= (\omega_1 \hat{e}_1 + \omega_2 \hat{e}_2 + \omega_3 \hat{e}_3) \cdot I_1 (-\omega_2 \hat{e}_1 + \omega_1 \hat{e}_2) \\ &= I_1 (-\omega_1 \omega_2 + \omega_2 \omega_1) = 0 \end{aligned}$$

O que prova que  $\vec{\omega}$ ,  $\vec{L}$  e  $\hat{e}_3$  são COPLANARES

Finalmente, como  $\vec{\omega}$  determina o eixo instantâneo de rotação, pontos ao longo de  $\vec{\omega}$  no sistema de eixos ligado ao corpo estão instantaneamente PARADOS. Portanto, dizemos que o CONE DO CORPO ROLA SEM DESLIZAR SOBRE O CONE ESPACIAL

VER FIGURA 11-11

VER APPLET NA PÁGINA DO CURSO

( / / )

É possível relacionar  $\alpha_c$  e  $\alpha_E$ . Como vimos

$$\cos \alpha_E = \frac{2T}{\omega L}$$

Mas:

$$\vec{L} = I_1 (\omega_1 \hat{e}_1 + \omega_2 \hat{e}_2) + I_3 \omega_3 \hat{e}_3 = I_1 (\vec{\omega} - \omega_3 \hat{e}_3) + I_3 \omega_3 \hat{e}_3$$

$$\Rightarrow \vec{L} = I_1 \vec{\omega} + \beta I_1 \omega_3 \hat{e}_3$$

$$\Rightarrow L^2 = I_1^2 \omega^2 + \beta^2 I_1^2 \omega_3^2 + 2\beta I_1^2 \omega_3^2$$

$$\Rightarrow L^2 = I_1^2 [\omega^2 + (\beta^2 + 2\beta) \omega^2 \cos^2 \alpha_c] \text{ [pois } \omega_3 = \omega \cos \alpha_c]$$

$$\boxed{\omega L = I_1 \omega^2 [1 + (\beta^2 + 2\beta) \cos^2 \alpha_c]^{1/2}}$$

Além disso:

$$2T = \vec{\omega} \cdot \vec{L} = I_1 \omega^2 + \beta I_1 \omega_3^2 = I_1 \omega^2 + \beta I_1 \omega^2 \cos^2 \alpha_c$$

$$\Rightarrow \boxed{2T = I_1 \omega^2 [1 + \beta \cos^2 \alpha_c]}$$

Finalmente:

$$\boxed{\cos \alpha_E = \frac{1 + \beta^2 \cos^2 \alpha_c}{[1 + (\beta^2 + 2\beta) \cos^2 \alpha_c]^{1/2}}}$$

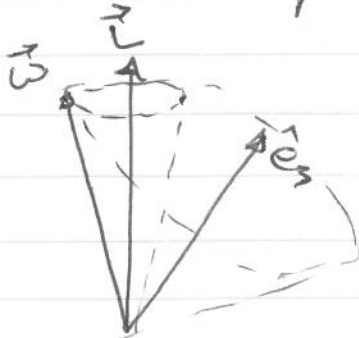
que não depende de  $\omega$ !

( / / )

Da expressão:

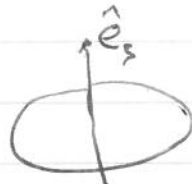
$$\vec{L} = I_1 \vec{\omega} + \beta I_1 \omega_3 \hat{e}_3$$

vê-se que, se  $\beta > 0$ , a orientação relativa de  $\vec{L}$ ,  $\vec{\omega}$  e  $\hat{e}_3$  é tal que:

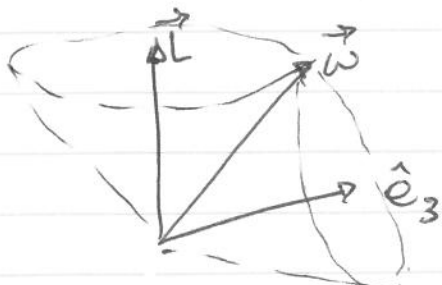


e o cone espacial fica dentro do cone do corpo.

$$\beta > 0 \Rightarrow I_3 > I_1 \Rightarrow \underline{\text{objeto oblató}}$$

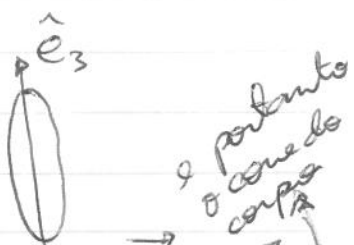


Do contrário ( $\beta < 0$ ), a orientação é outra



e o cone do corpo fica fora do cone espacial

$$\beta < 0 \Rightarrow I_3 < I_1 \Rightarrow \underline{\text{objeto prolató}}$$



Fica como exercício (11-27) mostrar que  $\vec{\omega}$  e  $\hat{e}_3$  giram em torno de  $\vec{L}$  com velocidade angular:

$$\omega [1 + (\beta^2 + 2\beta) \cos^2 \alpha_c]^{1/2} = \omega [\sin^2 \alpha_c + \frac{I_3^2}{I_1^2} \cos^2 \alpha_c]^{1/2} = \frac{L}{I_1}$$

## Estabilidade de rotações livres

na ausência de torques

Sabemos que se  $\vec{\omega} \parallel \vec{L}$ , ou seja, se um corpo gira em torno de um dos seus eixos principais, então  $\frac{d\vec{\omega}}{dt} = 0$  e ele continua a girar nessa direção (EQUILÍBRIO DINÂMICO) pois

$$\vec{I} \cdot \frac{d\vec{\omega}}{dt} + \vec{\omega} \times \vec{L} = \vec{N} = 0$$

A pergunta que queremos responder é se esse equilíbrio é estável, ou seja, se  $\vec{\omega}$  devia um pouco de  $\hat{e}_i$ , esse desvio aumenta indefinidamente ou permanece pequeno. Vamos considerar o caso de um corpo genérico  $I_3 > I_2 > I_1$  (já vimos que se  $I_1 = I_2$ , o equilíbrio em torno de  $\hat{e}_3$  é instável). Suponhamos que  $\vec{\omega}$  se desvia pouco de  $\hat{e}_1$ :

$$\vec{\omega} = \omega_1 \hat{e}_1 + \delta_2 \hat{e}_2 + \delta_3 \hat{e}_3$$

$$\delta_1, \delta_2 \ll \omega_1$$

As equações de Euler são:

$$I_1 \dot{\omega}_1 + (I_3 - I_2) \delta_2 \delta_3 = 0$$

$$I_2 \dot{\delta}_2 + (I_1 - I_3) \delta_3 \omega_1 = 0$$

$$I_3 \dot{\delta}_3 + (I_2 - I_1) \delta_2 \omega_1 = 0$$

1 / 1

O termo  $\delta_2 \delta_3$  é de orden 2 nos quantidades pequenas logo:

$$I_1 \dot{\omega}_1 \approx 0 \Rightarrow \omega_1 \approx \omega_{10} = \text{constante.}$$

Aleim disso:

$$\ddot{\delta}_2 = \left( \frac{I_3 - I_1}{I_2} \right) \omega_{10} \delta_3 \quad (1)$$

$$\ddot{\delta}_3 = \left( \frac{I_1 - I_2}{I_3} \right) \omega_{10} \delta_2 \quad (2)$$

Diferenciando (1) em relação ao tempo e usando (2):

$$\ddot{\delta}_2 = \left( \frac{I_3 - I_1}{I_2} \right) \omega_{10} \left( \frac{I_1 - I_2}{I_3} \right) \omega_{10} \delta_2$$

$$\Rightarrow \ddot{\delta}_2 + \left[ \frac{(I_1 - I_3)(I_1 - I_2)}{I_2 I_3} \omega_{10}^2 \right] \delta_2 = 0$$

Analogamente:

$$\ddot{\delta}_3 + \underbrace{\left[ \frac{(I_1 - I_3)(I_1 - I_2)}{I_2 I_3} \omega_{10}^2 \right]}_{\Omega_1^2} \delta_3 = 0$$

Como  $I_1 - I_3 < 0$  e  $I_1 - I_2 < 0 \Rightarrow \Omega_1^2 > 0$  e ~~as soluções~~  
~~são~~ são oscilatórias

11

$$\delta_2(t) = \omega_{20} \cos(\Omega_1 t + \alpha_2)$$

$$\delta_3(t) = \omega_{30} \cos(\Omega_1 t + \alpha_3)$$

e os desvios  $\delta_2(t)$  e  $\delta_3(t)$  permanecem pequenos.  
De maneira análoga, podemos analisar o movimento em torno de  $\hat{e}_3$  e obtemos.

$$\vec{\omega} = \delta_1 \hat{e}_1 + \delta_2 \hat{e}_2 + \omega_3 \hat{e}_3 \quad \delta_1, \delta_2 \ll \omega_3$$

$$\Rightarrow \omega_3 \approx \omega_{30} = \text{const.}$$

$$\ddot{\delta}_1 + \Omega_3^2 \delta_1 = 0$$

$$\ddot{\delta}_2 + \Omega_3^2 \delta_2 = 0$$

onde  $\Omega_3^2 = \left[ \frac{(I_3 - I_1)(I_3 - I_2)}{I_1 I_2} \omega_{30}^2 \right] > 0$

pois  $I_3 > I_1$  e  $I_3 > I_2$ . O movimento é ESTÁVEL  
pelo mesmo motivo.

Entretanto, uma análise para o caso

$$\vec{\omega} = \delta_1 \hat{e}_1 + \omega_2 \hat{e}_2 + \delta_3 \hat{e}_3 \quad \delta_1, \delta_3 \ll \omega_2$$

revele que  $\omega_2 \approx \omega_{20} = \text{const.}$  mas

$$\ddot{\delta}_1 + \left[ \frac{(I_2 - I_1)(I_2 - I_3)}{I_1 I_3} \omega_{20}^2 \right] \delta_1 = 0$$

$$\ddot{\delta}_3 + \left[ \frac{(I_2 - I_1)(I_2 - I_3)}{I_1 I_3} \omega_{20}^2 \right] \delta_3 = 0$$

onde:

$I_2 < 0$  bei  $I_2 > I_1$  und  $I_2 < I_3$ !

As soluções são exponenciais:

$$\delta_1(t) = A e^{B_2 t} + B e^{-B_2 t}$$

$$\text{onde } |S_2| = \left[ \frac{(I_1 - I_2)(I_2 - I_3)}{I_1 I_3} \right]^{1/2} \omega_{20} \in \mathbb{R}$$

E o momento é instável!

Se  $I_1 = I_2$ , e  $\vec{w}$  é quase paralelo inicialmente a  $\vec{e}_1$ , a equação (2) acima fica:

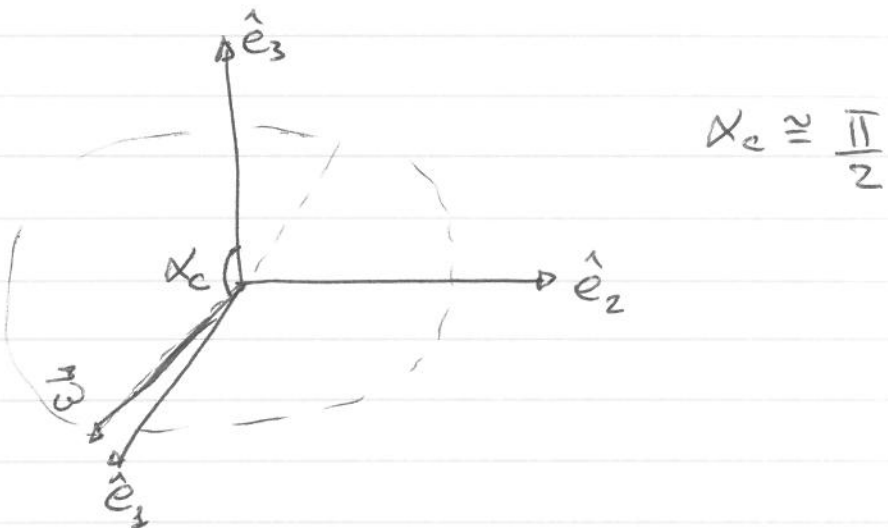
$$\dot{\delta}_3 = 0 \Rightarrow \delta_{30} = \delta_{30} = \text{const.} \quad \square$$

e (1) five:

$$\dot{\delta}_2 = \beta \omega_0 \delta_{30} \Rightarrow \delta_2(t) = \delta_{20} + \beta \omega_0 \delta_{30} t$$

que também cresce (ou seja, apenas linearmente) e o movimento é instável.

Da mesma maneira, se  $\vec{\omega}$  é quase paralelo a  $\hat{e}_2$ ,  $\delta_1(t) = \delta_{10} + At$  e o movimento é instável.  
Apenas o movimento próximo a  $\hat{e}_3$  é estável.  
Isto poderia ter sido concluído de cara do movimento com do corpo:



Uma maneira útil de visualizar esses resultados é utilizar as constantes de movimento  $\vec{L}$  e  $T_{\text{rot}}$  em termos das componentes de  $\vec{L}$ :

$$T_{\text{rot}} = \frac{L_1^2}{2I_1} + \frac{L_2^2}{2I_2} + \frac{L_3^2}{2I_3} \quad (3)$$

$$L^2 = L_1^2 + L_2^2 + L_3^2 \quad (4)$$

Aq. (4) define um círculo de raio  $L$  no espaço  $(L_1, L_2, L_3)$  e aq. (3) define um elipsóide de semi-eixos:

$$\sqrt{2T_{I_1}}, \sqrt{2T_{I_2}}, \sqrt{2T_{I_3}}$$

Se  $I_3 > I_2 > I_1$  é fácil mostrar que

$$\sqrt{2TI_1} < L < \sqrt{2TI_3},$$

ou seja, o raio da esfera (4) é maior que o menor semi-eixo e menor que o maior semi-eixo do elipsoide. Portanto, esfera e elipsoide se interceptam. Variando  $L$  no intervalo acima é possível discutir qualitativamente as curvas que correspondem a essa intersecção e entender que o movimento é próximo a  $I_1$  e  $I_3$  mas se desvia de  $I_2$  embora seja sempre periódico. (VER FIGURAS).

## Ângulos de Euler

Os ângulos de Euler são definidos de maneira a descrever a orientação relativa entre 2 sistemas de eixos de origem comum. Na figura que analisamos (figura 11.4 de Symon), esses eixos são o sistema  $x_{\bar{y}\bar{z}}$ , suposto fixo no espaço, e o sistema  $\bar{1}\bar{2}\bar{3}$ , suposto preso ao corpo e girando com ele. Num dado instante uma orientação arbitrária de  $\bar{1}\bar{2}\bar{3}$  em relação a  $x_{\bar{y}\bar{z}}$  é definida por 3 ângulos  $\theta, \phi$  e  $\psi$ .

- O ângulo  $\theta$  é o ângulo entre  $\hat{z}$  e  $\hat{\bar{z}}$
- O ~~plano~~  $\bar{1}\bar{2}$  intercepta o plano  $xy$  ao longo de uma linha chamada LINHA DE NÓS. O ângulo entre  $\hat{x}$  e a linha de nós é  $\phi$ .
- Finalmente, o ângulo entre  $\hat{\bar{z}}$  e a linha de nós é  $\psi$

A figura também mostra um sistema auxiliar de eixos  $\hat{\bar{s}}\hat{\bar{s}}$  (ao longo da linha de nós),  $\hat{s}$  (que coincide com o eixo  $\hat{\bar{z}}$ ) e  $\hat{n}$  (que pertence ao plano  $\bar{1}\bar{2}$  e é normal a  $\hat{\bar{s}}$  e  $\hat{\bar{s}}$ ).

É interessante notar que se pode partir de  $xyz$  e chegar a  $123$  através de 3 rotacões:

- Uma rotacão de  $\phi$  em torno de  $\hat{z}$
- Uma rotacão de  $\theta$  em torno da LINHA DE NÓS
- Uma rotacão de  $\psi$  em torno de  $\hat{z}$

Quando os ângulos de Euler variam, varia a orientação relativa de  $123$  e  $xyz$ . Sóramos as taxas de variação temporal dos 3 ângulos de Euler  $\dot{\phi}, \dot{\theta}, \dot{\psi}$ .

- Se apenas  $\phi$  variasse a velocidade angular instantânea seria:

$$\vec{\omega}_\phi = \dot{\phi} \hat{z}$$

- Se apenas  $\theta$  variasse, teríamos:

$$\vec{\omega}_\theta = \dot{\theta} \hat{z}$$

- E se apenas  $\psi$  variasse, teríamos:

$$\vec{\omega}_\psi = \dot{\psi} \hat{e}_z$$

De maneira geral, temos: 
$$\boxed{\vec{\omega} = \dot{\phi} \hat{z} + \dot{\theta} \hat{z} + \dot{\psi} \hat{e}_z}$$

Queremos expressar  $\vec{\omega}$  em termos de  $\hat{e}_1, \hat{e}_2$  e  $\hat{e}_3$ .

1 / 1

Da geometria da figura:

$$\hat{\mathbf{z}} = \cos \varphi \hat{\mathbf{e}}_1 - \sin \varphi \hat{\mathbf{e}}_2$$

$$\hat{\mathbf{n}} = \sin \theta \hat{\mathbf{e}}_1 + \cos \theta \hat{\mathbf{e}}_2$$

Além disso:

$$\hat{\mathbf{z}} = \cos \theta \hat{\mathbf{e}}_3 + \sin \theta \hat{\mathbf{n}}$$

$$\Rightarrow \hat{\mathbf{z}} = \sin \theta \sin \varphi \hat{\mathbf{e}}_1 + \sin \theta \cos \varphi \hat{\mathbf{e}}_2 + \cos \theta \hat{\mathbf{e}}_3$$

Logo:

$$\vec{\omega} = \dot{\phi} (\sin \theta \sin \varphi \hat{\mathbf{e}}_1 + \sin \theta \cos \varphi \hat{\mathbf{e}}_2 + \cos \theta \hat{\mathbf{e}}_3)$$

$$+ \dot{\theta} (\cos \varphi \hat{\mathbf{e}}_1 - \sin \varphi \hat{\mathbf{e}}_2)$$

$$+ \dot{\psi} \hat{\mathbf{e}}_3$$

$$\boxed{\begin{aligned}\vec{\omega} &= (\dot{\theta} \cos \varphi + \dot{\phi} \sin \theta \sin \varphi) \hat{\mathbf{e}}_1 \\ &+ (-\dot{\theta} \sin \varphi + \dot{\phi} \sin \theta \cos \varphi) \hat{\mathbf{e}}_2 \\ &+ (\dot{\psi} + \dot{\phi} \cos \theta) \hat{\mathbf{e}}_3\end{aligned}}$$

## Energia cinética em termos de ângulos de Euler

Para uma descrição Lagrangiana, vamos precisar de expressão de energia cinética de rotacões de um corpo rígido. O caso geral é bastante complicado, mas vamos focar no caso simétrico

$I_1 = I_2 \Rightarrow$  Nesse caso:

$$T_{\text{rot}} = \frac{1}{2} \vec{\omega} \cdot \vec{I} \cdot \vec{\omega} = \frac{1}{2} \sum_i I_i \omega_i^2$$

no sistema de eixos principais e

$$T = \frac{1}{2} I_1 (\dot{\omega}_1^2 + \dot{\omega}_2^2) + \frac{I_3}{2} \dot{\omega}_3^2$$

Mas:

$$\begin{aligned} \dot{\omega}_1^2 + \dot{\omega}_2^2 &= (\dot{\theta} \cos \psi + \dot{\phi} \sin \theta \sin \psi)^2 + (-\dot{\theta} \sin \psi + \dot{\phi} \sin \theta \cos \psi)^2 \\ &= \dot{\theta}^2 + \dot{\phi}^2 \sin^2 \theta \end{aligned}$$

$$\dot{\omega}_3^2 = (\dot{\psi} + \dot{\phi} \cos \theta)^2$$

$$\Rightarrow T = \frac{I_1}{2} (\dot{\theta}^2 + \dot{\phi}^2 \sin^2 \theta) + \frac{I_3}{2} (\dot{\psi} + \dot{\phi} \cos \theta)^2$$

## O piaô simétrico

Vamos resolver o movimento de um corpo (piaô) simétrico ( $I_1 = I_2$ ), que tem um ponto que NÃO É O CENTRO DE MASSA fixo no espaço.

No caso do piaô, esse ponto é geralmente sua base. Vamos definir momento angular e torque em relação a esse ponto fixo.

A energia potencial desse sistema é a massa do corpo  $M$ , vezes  $g$ , vezes a altura do CENTRO DE MASSA. Se chamarmos a distância do ponto fixo ao CM de  $h$  e descrevermos a orientação angular do corpo através de ângulos de Euler (tomando a discussão  $\dot{\theta}_3$  como o eixo de simetria do corpo), a altura do CM é  $h \cos \theta$

$$\Rightarrow V(\theta) = Mg h \cos \theta$$

e a Lagrangiana fica:

$$L = \frac{I_1}{2} (\dot{\theta}^2 + \dot{\phi}^2 \sin^2 \theta) + \frac{I_3}{2} (\dot{\psi}^2 + \dot{\phi}^2 \cos^2 \theta) - Mg h \cos \theta$$

De cara, identificamos 3 constantes do movimento:

- $p_\theta$  e  $p_\psi$ , porque  $L$  não depende de  $\dot{\phi}$  e  $\dot{\psi}$  (variáveis ignoraíveis ou cíclicas)

- Energia total, porque  $L$  não depende do tempo e o sistema de coordenadas é fixo. (sistema conservativo)

1 / 1

Portanto:

$$P_4 = I_3 (\dot{\theta} + \dot{\phi} \cos \theta) \cancel{=} \text{const.} = I_3 \omega_3 \quad (1)$$

$$P_\phi = I_1 \dot{\phi} \sin^2 \theta + I_3 (\dot{\theta} + \dot{\phi} \cos \theta) \cos \theta = \text{const.} \quad (2)$$

$$E = \frac{I_1}{2} (\dot{\theta}^2 + \dot{\phi}^2 \sin^2 \theta) + \frac{I_3}{2} (\dot{\theta} + \dot{\phi} \cos \theta)^2 + Mgh \cos \theta = \text{const.}$$

É interessante notar que o torque de pose tende a girar o corpo em torno da LINHA DE NÓS.  
P<sub>φ</sub> e P<sub>4</sub> são os momentos angulares do corpo nas direções  $\hat{z}_1$  (P<sub>φ</sub>) e  $\hat{z}_3$  (P<sub>4</sub>) que são sempre PERPENDICULARES À LINHA DE NÓS E PORTANTO AO TORQUE, e por isso são conservados.  
Note também que  $\omega_3$  é constante.

Podemos agora usar (1) e (2) trocar a dependência com  $\dot{\phi}$  e  $\dot{\theta}$  para uma energia por uma dependência com  $\theta$  apenas. De fato:

$$\dot{\theta} + \dot{\phi} \cos \theta = \frac{P_4}{I_3} \quad (3)$$

$$\therefore I_1 \dot{\phi} \sin^2 \theta = P_\phi - I_3 \cos \theta \left( \frac{P_4}{I_3} \right)$$

$$\Rightarrow \dot{\phi} = \frac{P_\phi - P_4 \cos \theta}{I_1 \sin^2 \theta} \quad (4)$$

Levando (3) e (4) na expressão da energia:

$$E = \frac{I_1 \dot{\theta}^2}{2} + \frac{(P_\phi - P_+ \cos \theta)^2}{2 I_1 \sin^2 \theta} + Mgh \cos \theta + \frac{P_+^2}{2 I_3} \quad (5)$$

Definindo a quantidade  $E' = E - \frac{P_+^2}{2 I_3}$

$$E' = \frac{I_1 \dot{\theta}^2}{2} + \frac{(P_\phi - P_+ \cos \theta)^2}{2 I_1 \sin^2 \theta} + Mgh \cos \theta = \text{const.} \quad (6)$$

O problema agora é análogo a um problema conservativo uni-dimensional com potencial:

$$V'(\theta) = \frac{1}{2 I_1} \left( \frac{P_\phi - P_+ \cos \theta}{\sin \theta} \right)^2 + Mgh \cos \theta$$

$$E' = \frac{I_1 \dot{\theta}^2}{2} + V'(\theta)$$

~~E~~  $P_\phi$ ,  $P_+$  e  $E$  (e, portanto,  $E'$ ) são determinados pelas condições iniciais. Assim:

$$t = \int \frac{d\theta}{\dot{\theta}} = \sqrt{\frac{I_1}{2}} \int_{\theta(0)}^{\theta} \frac{d\theta}{\sqrt{E' - V'(\theta)}}$$

que nos dá, após inversão,  $\theta(t)$ . Levando  $\theta(t)$  em (4) pode-se, empiricamente, obter  $\phi(t)$ . Finalmente, levando  $\theta(t)$  e  $\phi(t)$  em (3), obtemos  $\psi(t)$  e o problema foi reduzido a quadraturas. As integrais são, no entanto, relacionadas a integrais elípticas.

Vamos obter uma compreensão mais analítica do movimento. Começamos pela forma genérica da função  $V'(\theta)$  (para  $P_0$  e  $P_1$  genéricos) (FIGURA 11-14)

E' fácil ver que, por causa do fator  $\frac{1}{\sin^2 \theta} V'(\theta)$

diverge quando  $\theta \rightarrow 0$  e  $\theta = \pi$ . Além disso, há um mínimo num valor  $\theta = \theta_0$  determinado por

$$\left. \frac{dV'(\theta)}{d\theta} \right|_{\theta=\theta_0} = \frac{1}{I_1} \left( P_0 - P_1 \cos \theta_0 \right) \left( P_1 \sin^2 \theta_0 - \cancel{\text{coseno}(P_0 P_1 \cos \theta_0)} \right)$$

$$- Mgh \sin \theta_0$$

$$= \frac{(P_0 - P_1 \cos \theta_0)(P_1 - P_0 \cos \theta_0)}{I_1 \sin^3 \theta_0} - Mgh \sin \theta_0 = 0 \quad (7)$$

Podemos analisar o movimento em analogia ao que foi feito no caso do potencial central.

- Para valores genéricos de energia  $E'$  ( $E'_1$  nativa), o movimento em  $\theta$  corresponde a oscilações entre os pontos de retorno  $\theta_1$  e  $\theta_2$  dados por:

$$E' = V'(\theta_{1,2})$$

ou seja, a inclinação do pião em relação à vertical fica confinada ao intervalo  $[\theta_1, \theta_2]$ .

- Se  $E' = V_{\min} = E_2'$  (ver figura), onde  $V_{\min} = V'(0_0)$  o valor de  $\theta$  é constante e igual a  $\theta_0$ . Ainda, o ponto é fixo e ele faz um movimento de precessão em torno de  $\hat{z}$  (PRECESSÃO REGULAR)

com velocidade angular:

$$\dot{\phi} = \frac{P_\phi - P_T \cos \theta_0}{I_z \sin^2 \theta_0}$$

Podemos nos livrar da dependência com  $P_\phi$  na expressão acima. De fato, definindo:

$$\beta \equiv P_\phi - P_T \cos \theta_0 \Rightarrow \dot{\phi} = \frac{\beta}{I_z \sin^2 \theta_0}$$

e levando em (7) :

$$\beta [P_T - (\beta + P_T \cos \theta_0) \cos \theta_0] = Mgh I_z \sin^4 \theta_0$$

$$\Rightarrow \cos \theta_0 \beta - \frac{P_T}{\sin^2 \theta_0} \beta + Mgh I_z \sin^4 \theta_0$$

ou:

$$\beta = \frac{P_T \sin^2 \theta_0 \pm \sqrt{P_T^2 \sin^4 \theta_0 - 4Mgh I_z \cos \theta_0 \sin^4 \theta_0}}{2 \cos \theta_0}^{1/2}$$

Trocando  $P_T \sin^2 \theta_0$  para forç da raiz quadrada

$$\boxed{\beta = \frac{P_T \sin^2 \theta_0}{2 \cos \theta_0} \left[ 1 \pm \left( 1 - \frac{4Mgh I_z \cos \theta_0}{P_T^2} \right)^{1/2} \right]} \quad (8)$$

11

que só depende de  $P_4 = I_3 \omega_3 \cos \theta_0$ .

Se  $\theta > \frac{\pi}{2} \Rightarrow \cos \theta_0 < 0$  e ~~o~~ o argumento da raiz é sempre positivo. Se  $\theta_0 < \frac{\pi}{2} \Rightarrow \cos \theta_0 > 0$  e o argumento da raiz só é positivo se:

$$P_4^2 \geq 4MghI_1 \cos \theta_0$$

ou:

$$\omega_3 \geq \frac{2\sqrt{MghI_1 \cos \theta_0}}{I_3} \equiv \omega_{\min} \quad (9)$$

Assim, a precessão regular só é possível se o planeta girar suficientemente rápido. Nesse caso, há 2 velocidades angulares de precessão (PRECESSÃO RÁPIDA E LENTA), correspondendo às 2 raízes da equação para  $\beta$ . Quando

$$\omega_3 \gg \omega_{\min}$$

$$\left(1 - \frac{4MghI_1 \cos \theta_0}{I_3^2 \omega_3^2}\right)^{1/2} = \left(1 - \frac{\omega_{\min}^2}{\omega_3^2}\right)^{1/2} \approx 1 - \frac{\omega_{\min}^2}{2\omega_3^2}$$

$$\beta = \frac{I_3 \omega_3 \sin^2 \theta_0}{2 \cos \theta_0} \times \begin{cases} \frac{2}{\omega_3^2} \\ \frac{\omega_{\min}^2}{2\omega_3^2} \end{cases}$$

$$\Rightarrow \beta_n = \frac{I_3 \omega_3 \sin^2 \theta_0}{\cos \theta_0} \Rightarrow \dot{\phi}_n = \frac{I_3 \omega_3}{I_1 \cos \theta_0} \quad (\text{PRECESSÃO RÁPIDA}) \quad (10)$$

ou:

$$\beta_e = \frac{I_3 \sin^2 \theta_0}{4 \omega_3 \cos \theta_0} \omega_{\min}^2 = \frac{I_3 \sin^2 \theta_0}{4 \omega_3 \cos \theta_0} \frac{24 Mgh I_1 \cos \theta_0}{I_3^2}$$

$$\beta_e = \frac{I_1}{I_3} \frac{Mgh}{\omega_3} \sin^2 \theta_0$$

$$\Rightarrow \dot{\phi}_e = \frac{Mgh}{I_3 \omega_3} \quad (\text{PRECESSÃO LENTA})$$

(11)

As condições iniciais que se realizam na prática geralmente são as que levam à PRECESSÃO LENTA.

Se  $\theta_0 > \frac{\pi}{2}$  (neste caso é preciso fixar a base do pião para que ele não caia) a raiz quadrada em (8) é sempre maior que 1 e  $\beta$  (e portanto  $\dot{\phi}$ ) tem sinal daí que:

$$\operatorname{sgn}(\beta_e) = -\operatorname{sgn}(\rho_4) = -\operatorname{sgn}(\omega_3) \quad \text{e}$$

$$\operatorname{sgn}(\beta_n) = +\operatorname{sgn}(\omega_3) \quad \text{e que } \beta_+ = \beta_e \text{ e } \beta_- = \beta_n$$

(note que  $\cos \theta_0$  é negativo). Assim, a precessão lenta ~~é oposta~~ é oposta a  $\omega_3$  e a ~~é idêntica~~ é ~~tem o mesmo~~ sinal que  $\omega_3$ .

# OPCIONAL

( / / )

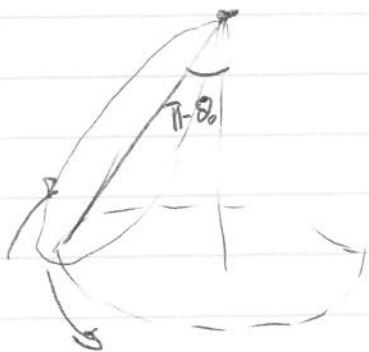
Quando  $\omega_3 \rightarrow 0$ :

$$(\gamma)^{1/2} \equiv \sqrt{\frac{4MghI_1|\cos\theta_0|}{I_3^2\omega_3^2}} = \frac{2}{I_3\omega_3} \sqrt{MghI_1|\cos\theta_0|}$$

$$\Rightarrow \beta_{r,e} = \pm \frac{\sin^2\theta_0}{\cos\theta_0} \sqrt{\frac{MghI_1|\cos\theta_0|}{I_3\omega_3^2}}$$

$$\Rightarrow \dot{\phi} = \mp \sqrt{\frac{Mgh}{I_1|\cos\theta_0|}}$$

que é velocidade de precessão regular do pêndulo fílico espírico.



No caso genérico em que  $E' > V(\theta_0)$  o ângulo  $\theta$  varia com o tempo. Nesse caso, ocorre o que chamamos de "mutação".

Quando há MUTAÇÃO a velocidade angular  $\dot{\phi}$  varia com o tempo:

$$\dot{\phi} = \frac{P_d - P_t \cos \theta(t)}{I_s \sin^2 \theta(t)}$$

Dependendo dos valores de  $P_d$ ,  $P_t$  e  $E'$  pode acontecer de haver um valor de  $\theta = \theta_3 \in [\theta_1, \theta_2]$  no qual  $\dot{\phi}$  troca de sinal, ou seja;

$$\dot{\phi} = \frac{P_d - P_t \cos \theta_3}{I_s \sin^2 \theta_3} = 0$$

$$\Rightarrow \boxed{\cos \theta_3 = \frac{P_d}{P_t}}$$

~~Resumo~~ De maneira geral há 3 possibilidades  
(ver figura 11.15) (Symon 11.7)

1) Se não existe  $\theta_3 \in [\theta_1, \theta_2]$ , então  $\dot{\phi}$  tem sempre o mesmo sinal que  $\omega_3$  (caso (a))

2) Se existe  $\theta_3 \in [\theta_1, \theta_2]$ , então  $\dot{\phi}$  troca de sinal durante a mutação (~~caso (b)~~)

Nesse caso,  $\dot{\phi}$  tem o mesmo sinal que  $\omega_3$  para  $\theta \in [\theta_3, \theta_2]$  e o sinal oposto quando  $\theta \in [\theta_1, \theta_3]$

3)  $\theta_3 = \theta_1$  (caso (c)). Nesse caso  $\dot{\phi} = 0$  em  $\theta = \theta_1 = \theta_3$  e o movimento apresenta cuspides na inclinação menor (mais próxima à vertical).

## Observações:

1) As condições iniciais comuns de se "soltar" o pião girando em torno de é: a partir de um ângulo inicial  $\theta_1$ , correspondem ao caso limite (3) acima. De fato, nesse caso, as condições iniciais são

$$\dot{\theta} = \dot{\theta}_1, \quad \ddot{\theta} = 0, \quad \dot{\phi} = 0, \quad \ddot{\phi} = \omega_3 \quad (\text{pois } \ddot{\phi} = 0)$$

$$\Rightarrow P_{\phi} = I_3 \omega_3$$

$$P_{\phi} = I_3 \cos \theta_1 \omega_3 = P_4 \cos \theta_1$$

$$E' = Mgh \cos \theta_1$$

$$V'(\theta) = \frac{P_4^2}{2I_1} \left( \frac{\cos \theta_1 - \cos \theta}{\sin \theta} \right)^2 + Mgh \cos \theta$$

Claramente,  $\theta_1$  é um ponto de retorno

$$V'(\theta_1) = Mgh \cos \theta_1 = E'$$

$$\text{e em } \theta_1, \left. \beta \right|_{\theta=\theta_1} = P_{\phi} - P_4 \cos \theta_1 = 0 \Rightarrow \dot{\phi} = 0 \Rightarrow \theta_1 = \theta_3$$

2) A situação (1) pode ser obtida com

$$\theta(0) = \theta_1, \quad \dot{\phi} \geq 0, \quad \ddot{\theta} = 0, \quad \ddot{\phi} > 0 \Rightarrow P_{\phi} > P_4 \Rightarrow \theta_3 \in [\theta_1, \theta_2]$$

e a situação (2) com:

$$\theta(0) = \theta_1, \quad \dot{\phi} < 0, \quad \ddot{\theta} = 0, \quad \ddot{\phi} > 0 \Rightarrow P_{\phi} < P_4 \Rightarrow \exists \theta_3 \in [\theta_1, \theta_2]$$

3) Na prática, o atrito no ponto fixo faz com que a amplitude de nutação diminua rapidamente e o movimento tende assintoticamente a uma precessão regular.

### O PIÃO DORMENTE

Uma situação importante corresponde às condições iniciais de um pião posto a girar em torno de seu eixo é, sua posição vertical:

$$\theta(0) = 0, \dot{\theta}(0) = 0, \dot{\phi} \neq \omega_3$$

Nesse caso a linha de nôs é indeterminada e  $\psi + \phi$  é o ângulo entre ês e  $\hat{x}$ , seus valores separados sendo indeterminados. Assim,

$$P_4 = I_3 \dot{\psi} + \dot{\phi} \cos \theta = I_3 \omega_3$$

$$P_4 = P_4 \quad E' = \alpha Mgh$$

$$\begin{aligned} V'(0) &= \frac{I_3^2 \omega_3^2}{2I_1} \left( \frac{1 - \cos \theta}{\sin \theta} \right)^2 + Mgh \cos \theta \\ &= \frac{I_3^2 \omega_3^2}{2I_1} \left[ \tan^2 \frac{\theta}{2} + \alpha \cos \theta \right] \end{aligned}$$

onde  $\alpha = \frac{2MghI_1}{I_3^2 \omega_3^2}$  e usamos que  $\frac{1 - \cos \theta}{\sin \theta} = \tan^2 \frac{\theta}{2}$

A forma de  $V'(\theta)$  pode ser vista da figura (Synon 11.8). O ponto  $\theta = 0$  é um ponto de equilíbrio:

$$\frac{dV'(\theta)}{d\theta} \Big|_{\theta=0} = \frac{I_3^2 \omega_3^2}{2I_1} \left[ \tan \frac{\theta}{2} \sec^2 \frac{\theta}{2} - \alpha \sin \theta \right] \Big|_{\theta=0} = 0$$

E sua estabilidade é determinada por

$$\begin{aligned} \frac{d^2V'(\theta)}{d\theta^2} \Big|_{\theta=0} &= \frac{I_3^2 \omega_3^2}{2I_1} \left[ \frac{1}{2} \sec^4 \frac{\theta}{2} + \tan^2 \frac{\theta}{2} \sec^2 \frac{\theta}{2} - \alpha \cos \theta \right] \Big|_{\theta=0} \\ &= \frac{I_3^2 \omega_3^2}{2I_1} \left( \frac{1}{2} - \alpha \right) \end{aligned}$$

$$\text{Se } \alpha < \frac{1}{2} \Rightarrow \frac{d^2V'(\theta)}{d\theta^2} \Big|_{\theta=0} > 0 \text{ e o equilíbrio}$$

é estável. Do contrário, o equilíbrio é instável. Assim, há instabilidade se:

$$\alpha > \frac{1}{2} \Rightarrow \frac{2Mgh I_1}{I_3^2 \omega_3^2} > \frac{1}{2} \Rightarrow \omega_3 < \frac{2}{I_3} \sqrt{Mgh I_1} = \omega_{\min}$$

que, na verdade, é mesmo  $\omega_{\min}$  anterior calculado em  $\theta_0 = 0$ .

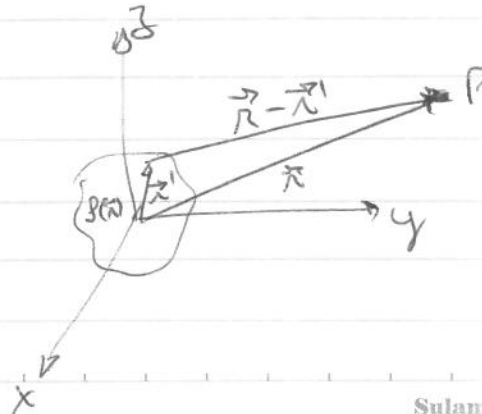
Na prática, se inicialmente  $\omega_3 > \omega_{\min}$ , o atrito irá diminuir até que  $\omega_3 = \omega_{\min}$  e o pião caia.

## A precessão dos equinócios

Uma aplicação importante da dinâmica de corpos simétricos é a precessão dos equinócios. A Terra é um corpo oblongo com eixo de simetria praticamente coincidente com seu eixo de rotação. Esse eixo é inclinado de  $23^{\circ}27'$  em relação à normal à eclíptica, ou seja, ao plano definido pela órbita de revolução da Terra em torno do Sol. O Sol exerce um torque sobre a Terra cujo efeito é tentar girar o seu eixo da Terra no sentido de fazê-lo coincidir com a normal à eclíptica. Sob a ação desse torque, como ação rebaixa a ação de peso, o eixo da Terra realiza uma precessão regular em torno da normal à eclíptica. A Lua tem um efeito semelhante, que se soma ao efeito do Sol. Vamos estudar esse fenômeno.

Comecemos para calcular o potencial gravitacional de um corpo de massa  $M$ , sobre uma distribuição de massa em torno da origem dada por  $\delta(\vec{r})$ . Seja  $\vec{r}$  o ponto onde queremos achar  $V(\vec{r})$ :

$$V(\vec{r}) = -G \int d^3r' \frac{\delta(\vec{r}')}{|\vec{r} - \vec{r}'|}$$



Sabemos que  $\frac{1}{|\vec{r} - \vec{r}'|} = \frac{1}{[\vec{r}^2 + \vec{r}'^2 - 2\vec{r} \cdot \vec{r}' \cos\gamma]^{1/2}}$   
 onde  $\gamma$  é o ângulo entre  $\vec{r}$  e  $\vec{r}'$  tem uma expansão em Polinômios de Legendre:

$$\frac{1}{|\vec{r} - \vec{r}'|} = \frac{1}{r} \sum_{l=0}^{\infty} \left(\frac{r'}{r}\right)^l P_l(\cos\gamma) \quad (r' < r)$$

Poderemos calcular os primeiros termos da expansão

$l=0$ :

$$\int d^3r' g(\vec{r}') \frac{1}{r} = \frac{1}{r} \int d^3r' g(\vec{r}') = \frac{m}{r}$$

onde  $m$  é a massa total da distribuição  
 (no nosso caso, a massa da Terra).

$l=1$ :

$$\int d^3r' \frac{r' P_1(\cos\gamma)}{r^2} g(\vec{r}') = \frac{1}{r^2} \int d^3r' r' \cos\gamma g(\vec{r}')$$

$$= \frac{1}{r^3} \int d^3r' \vec{r} \cdot \vec{r}' g(\vec{r}') = \frac{\vec{R}}{r^3} \cdot \left[ \int d^3r' \vec{r}' g(\vec{r}') \right]$$

Seu tomarmos a a origem do sistema de coordenadas no centro de massa da distribuição (centro da Terra):

$$\int d^3r' \vec{r}' g(\vec{r}') = M \vec{R} = 0 \text{ onde } \vec{R} \text{ é a} \\ \text{posição do centro de} \\ \text{massa}$$

$$l=2: P_2(\cos\gamma) = \frac{1}{2} (3\cos^2\gamma - 1)$$

$$\frac{1}{2\pi^3} \int d\vec{n}^1 S(\vec{n}^1) \sqrt{3\cos^2\gamma - 1}$$

Vamos escolher o sistema de coordenadas de tal forma que o plano da eclíptica seja o plano  $xy$ . Assim:

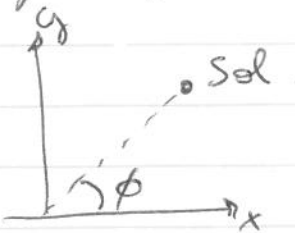
$$\vec{n}^1 = n^1 (\sin\theta^1 \cos\phi^1 \hat{x} + \sin\theta^1 \sin\phi^1 \hat{y} + \cos\theta^1 \hat{z})$$

$$\vec{n} = n (\cos\phi \hat{x} + \sin\phi \hat{y})$$

$$\Rightarrow \frac{\vec{n} \cdot \vec{n}^1}{n n^1} = \cos\gamma = \sin\theta^1 (\cos\phi^1 \cos\phi + \sin\phi^1 \sin\phi) \\ = \sin\theta^1 \cos(\phi - \phi^1)$$

$$\Rightarrow \frac{1}{2\pi^3} \int d\vec{n}^1 S(\vec{n}^1) \sqrt{[3\sin^2\theta^1 \cos^2(\phi - \phi^1) - 1]} = \frac{1}{2\pi^2} f(\phi)$$

onde  $f(\phi)$  é uma função apenas do ângulo  $\phi$  entre a posição do Sol e o eixo  $\hat{x}$ :



Vamos assumir uma órbita aproximadamente circular da Terra em torno do Sol e, portanto, do Sol em torno da Terra.

Como veremos depois, a taxa de precessão angular é muito menor que a taxa de varredura da órbita da Terra (ou o período de precessão é muito maior que um ano).

/ /

Portanto, podemos em ótima aproximação tomar a média sobre a órbita de revolução

$$f(\phi) \rightarrow \int_0^{2\pi} f(\phi) \frac{d\phi}{2\pi} = \langle \circ f(\phi) \rangle$$

Amin:

$$\int_{2\pi}^3 d\vec{r}^1 g(\vec{r}^1) [3 \sin^2 \theta' \cos^2(\phi - \phi') - 1] \rightarrow$$

$$\rightarrow \int_0^{2\pi} \frac{d\phi}{2\pi} \int_{2\pi}^3 d\vec{r}^1 g(\vec{r}^1) [3 \sin^2 \theta' \cos^2(\phi - \phi') - 1]$$

Trocando a ordem de integrações e usando

$$\int_0^{2\pi} \frac{d\phi}{2\pi} = 1 \quad 2 \int_0^{2\pi} \frac{d\phi}{2\pi} \cos^2(\phi - \phi') =$$

$$= \int_0^{2\pi} \frac{d\phi}{2\pi} \left[ \frac{1 + \cos(2\phi - 2\phi')}{2} \right] = \frac{1}{2}$$

O termo  $\ell=2$  fica então:

$$\frac{1}{2} \int_{2\pi}^3 d\vec{r}^1 g(\vec{r}^1) \left[ \frac{3}{2} \sin^2 \theta' - 1 \right] = \frac{1}{2} \int_{2\pi}^3 d\vec{r}^1 g(\vec{r}^1) \left[ \frac{3}{2} (x'^2 + y'^2) - \right.$$

$$\left. - z'^2 \right]$$

$$\int d\vec{r}^1 g(\vec{r}^1) (x'^2 + y'^2) = I_{33}$$

$$\int d\vec{r}^1 g(\vec{r}^1) z'^2 = \int d\vec{r}^1 g(\vec{r}^1) [x'^2 + y'^2 + z'^2] = (\text{CONTINUA})$$

( / / )

$$= \frac{1}{2} \int_{\Omega} \rho(\vec{x}) [ (x^2 + y^2) + (x^2 + z^2) + (y^2 + z^2) ]$$

$$= \frac{1}{2} (I_{11} + I_{22} + I_{33}) = \frac{1}{2} Tr(\bar{\mathbb{I}})$$

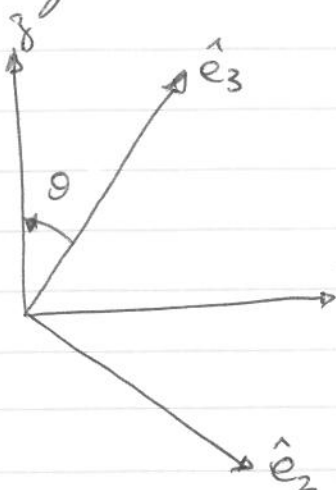
Finalmente juntando todos os termos até ordem  $\ell=2$ :

$$V(\vec{x}) = -\frac{Gm}{r} - \frac{G}{2r^3} \left[ \frac{3}{2} I_{33} - \frac{1}{2} Tr(\bar{\mathbb{I}}) \right]$$

Em termos dos eixos principais, como o traco é invariante por transformações ortogonais (rotacões)

$$Tr(\bar{\mathbb{I}}) = I_1 + I_2 + I_3$$

Além disso, podemos obter  $\bar{\mathbb{I}}$  no sistema acima fazendo uma rotação do sistema de eixos principais de um ângulo  $\theta$  em torno de  $x$  (por exemplo):



$$\lambda = \begin{pmatrix} 1 & 0 & 0 \\ 0 & c & s \\ 0 & -s & c \end{pmatrix}$$

onde  $c = \cos \theta$

$$s = \sin \theta$$

/ /

Assim, o sistema xyz:

$$\bar{F} = \begin{pmatrix} 1 & 0 & 0 \\ 0 & C & S \\ 0 & -S & C \end{pmatrix} \begin{pmatrix} I_1 & 0 & 0 \\ 0 & I_2 & 0 \\ 0 & 0 & I_3 \end{pmatrix} \begin{pmatrix} 1 & 0 & 0 \\ 0 & C & -S \\ 0 & S & C \end{pmatrix}$$

$$= \begin{pmatrix} I_1 & 0 & 0 \\ 0 & CI_1 & SI_3 \\ 0 & -SI_1 & CI_3 \end{pmatrix} \begin{pmatrix} 1 & 0 & 0 \\ 0 & C & -S \\ 0 & S & C \end{pmatrix}$$

$$= \begin{pmatrix} I_1 & 0 & 0 \\ 0 & C^2 I_1 + S^2 I_3 & (I_3 - I_1)SC \\ 0 & (I_3 - I_1)SC & S^2 I_1 + C^2 I_3 \end{pmatrix}$$

$$\text{Portanto: } I_{33} = \sin^2 \theta I_1 + \cos^2 \theta I_3$$

$$= (1 - \cos^2 \theta) I_1 + \cos^2 \theta I_3$$

$$= I_1 + \cos^2 \theta (I_3 - I_1)$$

$$\Rightarrow 3 I_{33} - (I_1 + I_2 + I_3) = 3 I_1 + 3 \cos^2 \theta (I_3 - I_1) - 2 I_1 - I_3$$

$$= (3 \cos^2 \theta - 1)(I_3 - I_1)$$

$$\Rightarrow V(\vec{r}) = -\frac{Gm}{r} - \frac{G(I_3 - I_1)(3 \cos^2 \theta - 1)}{4r^3}$$

O primeiro termo é a atração exercida no centro da Terra

Portanto, a energia potencial gravitacional com um corpo (Sol ou Lua) de massa  $M$  é:

$$\bullet U(r) = -\frac{GMm}{r} - \frac{GM(I_3 - I_1)(3\cos^2\theta - 1)}{4r^3}$$

O primeiro termo descreve apenas a atração gravitacional entre os corpos como se fossem partículas. O segundo termo descreve o torque sobre a Terra. Como  $I_3 > I_1$ , a energia é mínima para  $\theta = 0$ . Apenas o segundo termo afeta a dinâmica rotacional. Portanto rechamarmos

$$U_{rot}(\theta) = -\frac{3GM(I_3 - I_1)}{4r^3} \cos^2\theta$$

podemos escrever a Lagrangiana:

$$L = \frac{I_1(\ddot{\theta} + \dot{\phi}^2 \sin^2\theta)}{2} + \frac{I_3(\dot{\varphi} + \dot{\phi}\cos\theta)^2}{2} - U_{rot}(\theta)$$

O procedimento para obter a velocidade angular de PRECESSÃO ANGULAR  $\dot{\phi}$  é o mesmo do pão. Vamos tomar uma rota mais direta através das equações de Euler Lagrange. A equação para  $\dot{\theta}$  é:

$$\begin{aligned} \frac{d}{dt} \left( \frac{\partial L}{\partial \dot{\theta}} \right) = \frac{\partial L}{\partial \theta} \Rightarrow I_1 \ddot{\theta} &= I_1 \dot{\phi}^2 \sin\theta \cos\theta - I_3 (\dot{\varphi} + \dot{\phi}\cos\theta) \dot{\phi} \sin\theta \\ &- \frac{3GM(I_3 - I_1)}{2r^3} \cos\theta \sin\theta \end{aligned}$$

/ /

$$= \theta_0 =$$

Na precessão regular  $\dot{\theta} = \text{const.} \Rightarrow \ddot{\theta} = 0$ . Portanto:

$$I_1 \dot{\phi}^2 \cos \theta_0 - I_3 \omega_3 \dot{\phi} = \frac{3GM}{2r^3} (I_3 - I_1) \cos \theta_0$$

onde usamos que  $\dot{\phi} + \dot{\phi} \cos \theta = \omega_3 = \frac{P}{T} = \text{const.}$

O 1º termo da equação é muito menor do que o 2º pois:

$$\dot{\phi} \ll \omega_3 \sim \frac{1}{\text{1 dia}}$$

pois já antecipamos que  $\dot{\phi} \ll \frac{1}{\text{1 ano}}$ , o que será confirmado a seguir. Assim:

$$\dot{\phi} = - \frac{3}{2\omega_3} \frac{GM}{r^3} \left( \frac{I_3 - I_1}{I_3} \right) \cos \theta_0$$

Da 3ª Lei de Kepler  $\frac{GM}{r^3} = \omega_0^2 = \left( \frac{2\pi}{T_{\text{ano}}} \right)^2$   
 $\omega_0 = \text{freq. ang. de precessão}$

$$\Rightarrow \frac{\dot{\phi}}{\omega_0} = - \frac{3}{2} \left( \frac{\omega_0}{\omega_3} \right) \left( \frac{I_3 - I_1}{I_3} \right) \cos \theta_0$$

$$\left( \frac{\omega_0}{\omega_3} \right) \approx \frac{1}{365} \quad \left( \frac{I_3 - I_1}{I_3} \right) \approx \frac{1}{306} \quad \cos \theta_0 \approx 0.92$$

$$\Rightarrow \frac{\dot{\phi}}{\omega_0} \approx \frac{1}{81 \times 10^3} \Rightarrow T_\phi^s \approx 81 \times 10^3 \text{ anos.}$$

Na verdade, devemos incluir a influência da Lua, cuja órbita é aproximadamente co-planar à terrestre. Podemos adicionar os dois efeitos e obter o resultado combinado

$$\frac{GM_S}{R_S^3} + \frac{GM_L}{R_L^3} = \omega_0^2 \left[ 1 + \frac{GM_L}{\omega_0^2 R_L^3} \right] =$$

$$= \omega_0^2 \left[ 1 + \frac{M_L}{M_S} \left( \frac{R_S}{R_L} \right)^3 \right]$$

$$\approx \omega_0^2 \left[ 1 + 2.2 \right] = 3.2 \omega_0^2$$

$$T_d = \frac{81 \times 10^3 \text{ anos}}{3.2} \approx 25.3 \times 10^3 \text{ anos}$$